# Строение заряженных межфазных границ. Понятия, термодинамика, феноменология, методы исследования

Явления на межфазных границах:

- Адсорбция (положительная, отрицательная)
- Пространственное разделение заряда

Общий термодинамический подход Методы исследования адсорбции

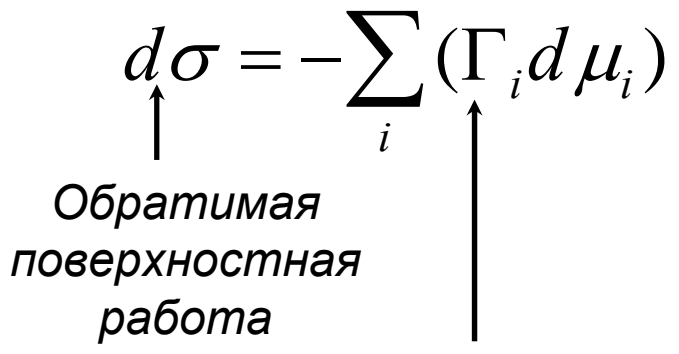
- электрокапиллярные кривые
- измерение дифференциальной емкости
- измерение заряда

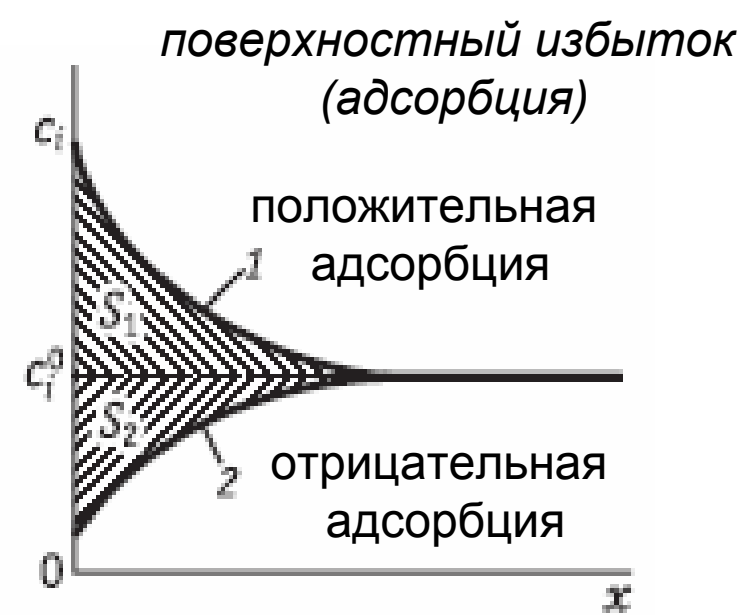
Изотермы адсорбции

In situ методы исследования

# [7.1 – 7.4] Адсорбция; пространственное разделение заряда; методы исследования заряженных границ

Уравнение Гиббса





А.Н.Фрумкин, 1927:

потенциал нулевого заряда (q = 0)

$$q = -F\sum_{i}(z_{i}\Gamma_{i})$$

Емкость двойного электрического слоя

$$C = \frac{dq}{dE}$$

Пограничное натяжение

$$\gamma = \sigma + \frac{d\sigma}{d\ln s}$$

# Электрокапиллярные явления

Уравнение Липпмана

$$d\sigma=-qdE-\sum_i (\Gamma_i d\,\mu_i)$$
  $\left(rac{\partial\sigma}{\partial E}
ight)_{a_i}=-q$  Эксперимент

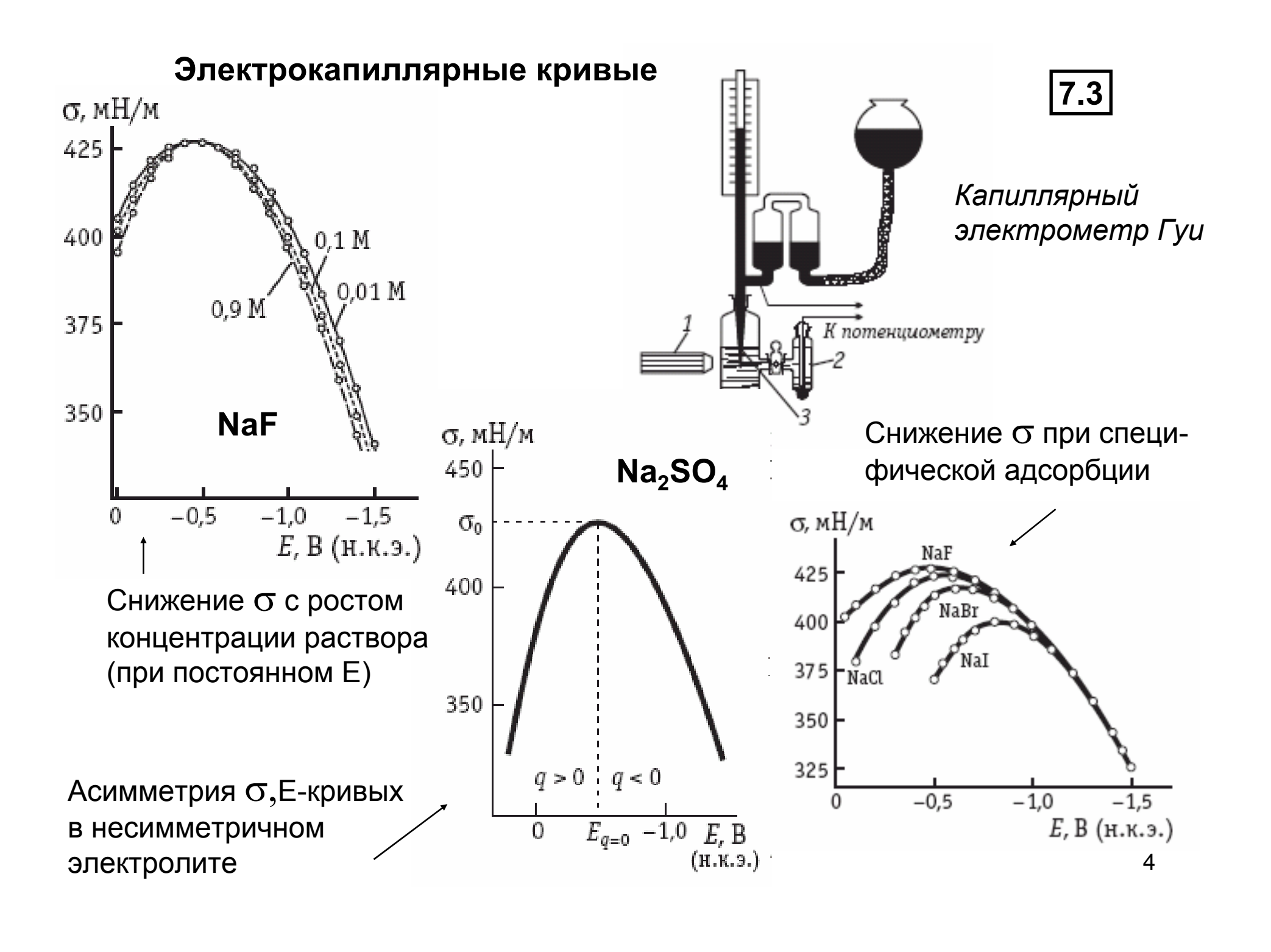
Капиллярный электрометр

$$egin{array}{c|c} \sigma, E; & \sigma, a_i \\ C, E; & C, a_i \\ \text{Импеданс} \end{array} \qquad \qquad \begin{array}{c|c} q, E; & q, a_i \\ \hline \Gamma_i, E; & \Gamma_i, a_i \end{array}$$

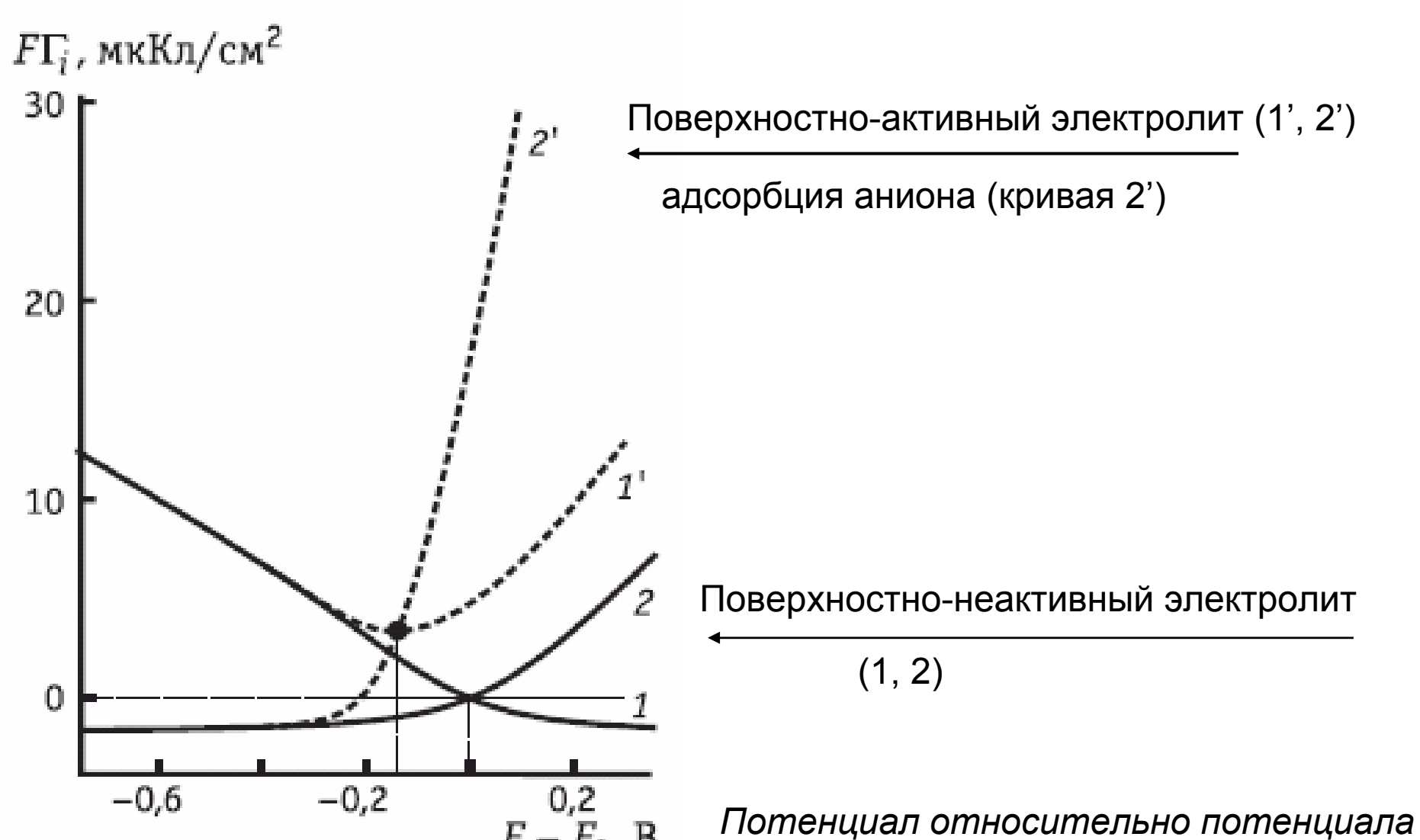
Вольтамперометрия

$$\frac{dU}{dt} = R\frac{dI}{dt} + \frac{I}{C};$$

$$\frac{dE}{dt} = \frac{dU}{dt} - R\frac{dI}{dt} = v = const$$



# Поверхностные избытки

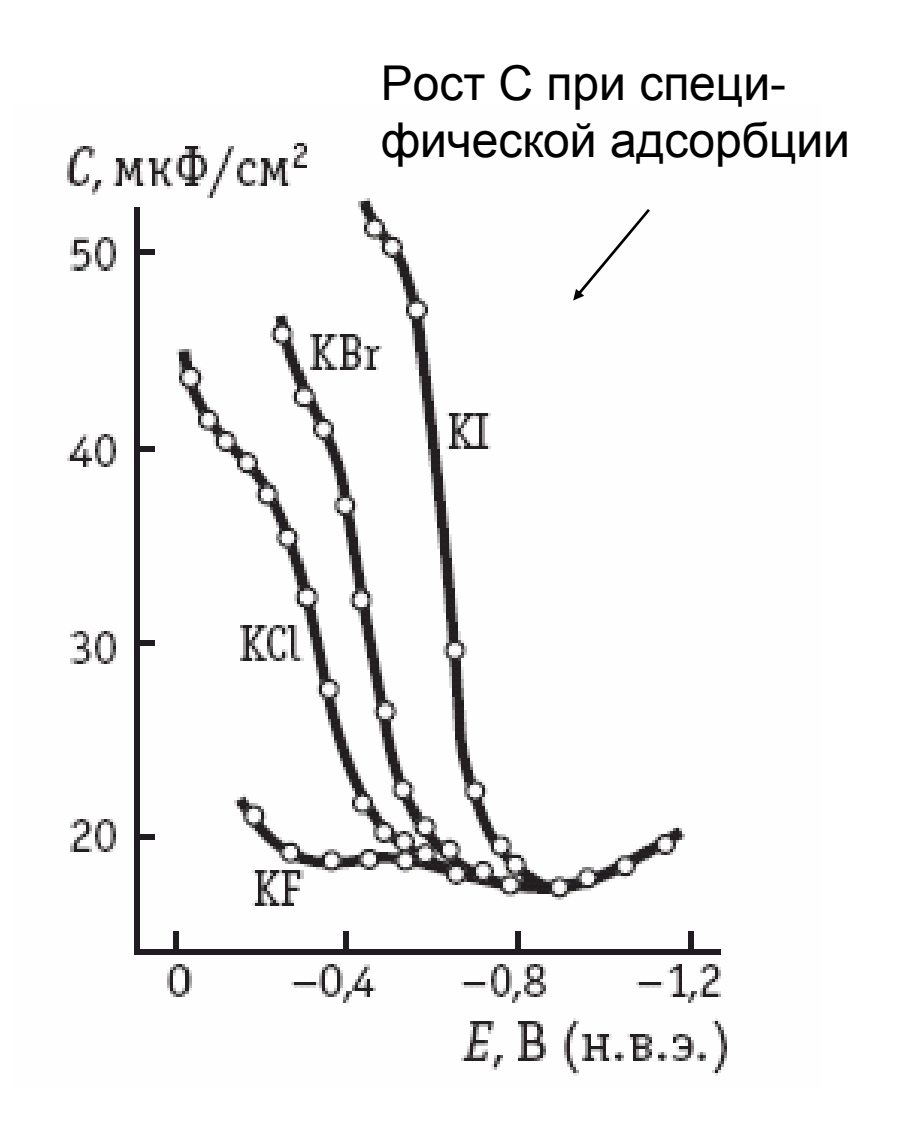


нулевого заряда (приведенная шкала)

# 7.4 $\begin{array}{c} A \\ E_1 \\ P.9. \end{array}$ $A_2$ $A_3$ $A_2$

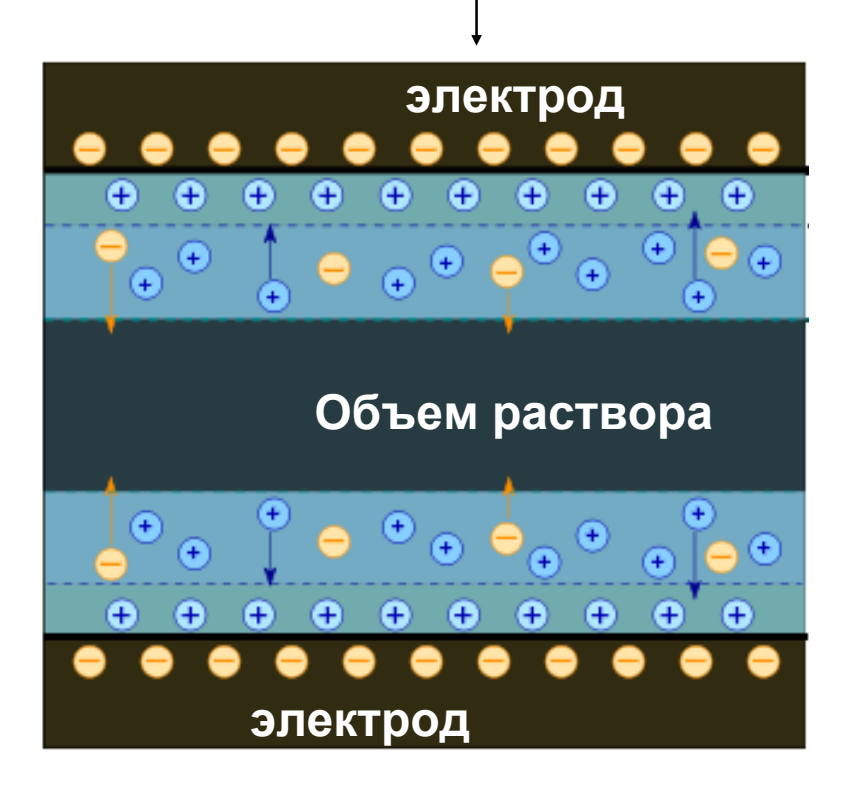


# **Кривые** дифференциальной емкости

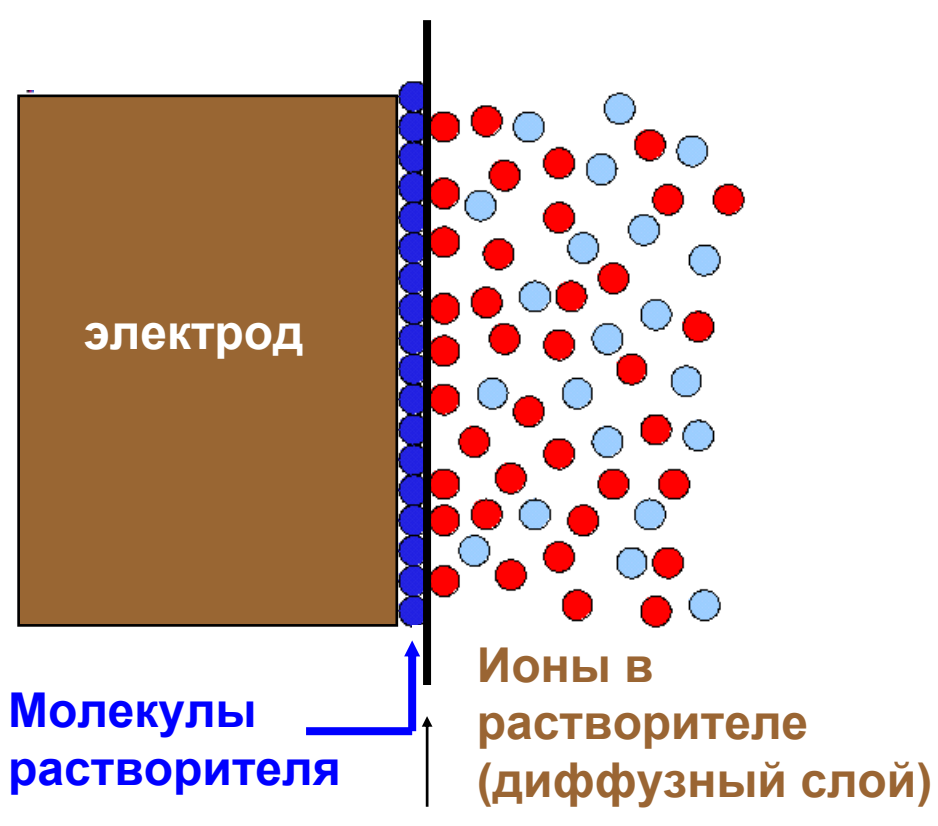


# Строение межфазной границы (очень условно!)

**НЕ ТАКОЕ** (формально тут нарисован «двойной электрический слой»:



### **CKOPEE TAKOE**



Outer Helmholz Plane (OHP) – внешняя плоскость Гельмгольца

(но бывает и куда более сложное)

# 7.11 – 7.12

# Модельные представления о строении заряженной межфазной границы

Распределение потенциала в диффузном слое

Уравнение Пуассона-Больцмана

$$\frac{d^2\varphi}{dx^2} = -\frac{F}{\varepsilon_0 \varepsilon} \sum_{i} c_i^{(0)} z_i \exp\left(-\frac{z_i F \varphi(x)}{RT}\right)$$

Ж.Гуи, 1910, Д.Чапмен, 1913:

Точное решение для случая изменения поля только вдоль нормали к поверхности

1,1-электролит

Уравнение Пуассона

$$\frac{d^2\varphi}{dx^2} = -\frac{\rho}{\varepsilon_0 \varepsilon}$$

$$q = \int_{x_2}^{\infty} \rho dx \longrightarrow \left| q \right|$$

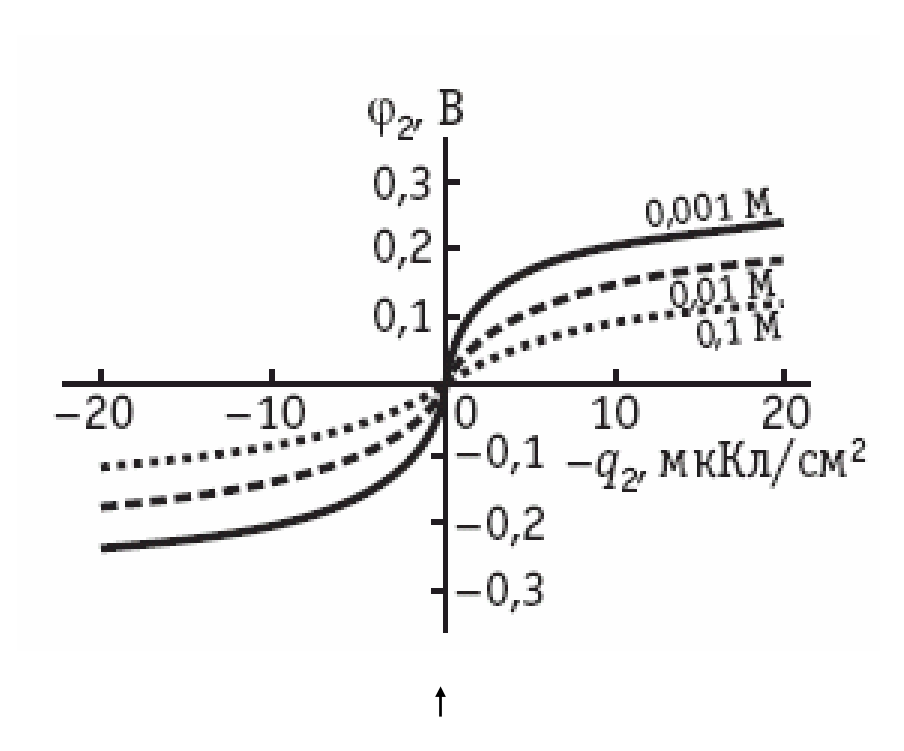
$$\frac{d^2\varphi}{dx^2} = -\frac{2Fc}{\varepsilon_0\varepsilon} \operatorname{sh}\left(\frac{F\varphi}{RT}\right)$$

$$q = \int_{x_2}^{\infty} \rho dx \longrightarrow q = -2\sqrt{2RT\varepsilon_0\varepsilon}\sqrt{c} \sinh\left(\frac{F\varphi_2}{2RT}\right)$$



$$\varphi \approx \varphi_2 \exp(-\kappa x)$$

$$\kappa^{-1}$$
 - обратная дебаевская длина (радиус ионной атмосферы)



Потенциал нулевого заряда

- потенциал на ОНР при постоянном заряде поверхности растет при снижении концентрации электролита

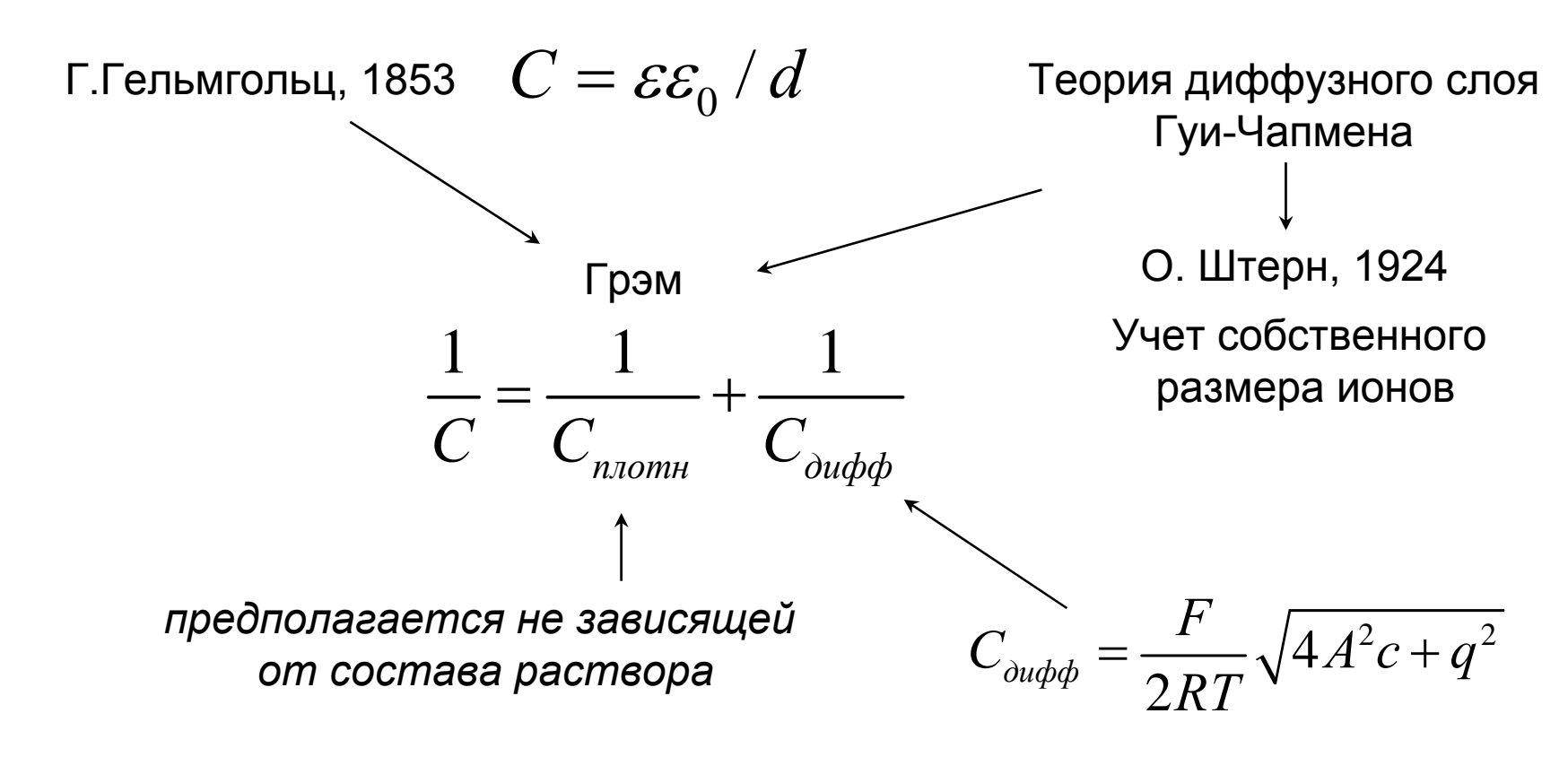
-спад потенциала при удалении от ОНР тем круче, чем выше концентрация электролита

# Разности потенциалов нулевого заряда металлов

Металлы	$\Delta E_{q=0}$ , B
Hg-Tl	0,52
Hg-Sn	0,23
Hg-Bi	0,19
Hg-Sb	-0,04
Hg-In	0,46
Hg-Pb	0,41
Hg-Cd	0,56
Hg-Ga	0,50

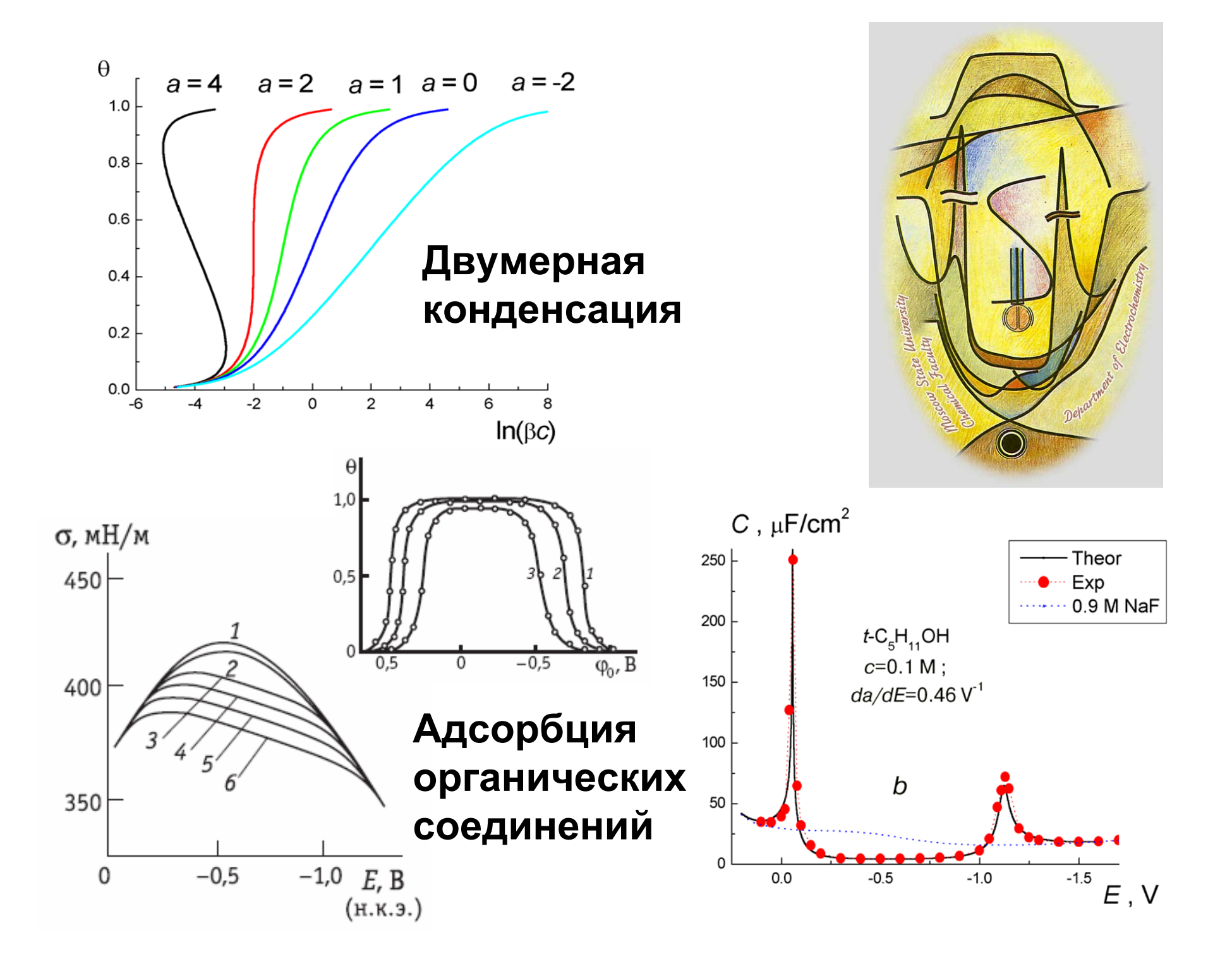
# 7.11 – 7.14

# Модельные представления о строении заряженной межфазной границы



Изотерма Фрумкина

$$\Gamma = \Gamma_{ ext{max}} heta$$
 аттракционная постоянная  $eta(E)c = rac{ heta}{1- heta} \exp(-2 \overset{}{a} heta)$ 



# Совершенно поляризуемые электроды. Физические методы исследования

Адсорбция с переносом заряда, адатомы
Соадсорбция ионов и атомов
Потенциалы нулевого полного и свободного заряда
Необратимая адсорбция
In situ физические методы исследования адсорбции

- оптические
- рентгеноспектроскопические
- дифракционные
- зондовые
- кварцевое микровзвешивание

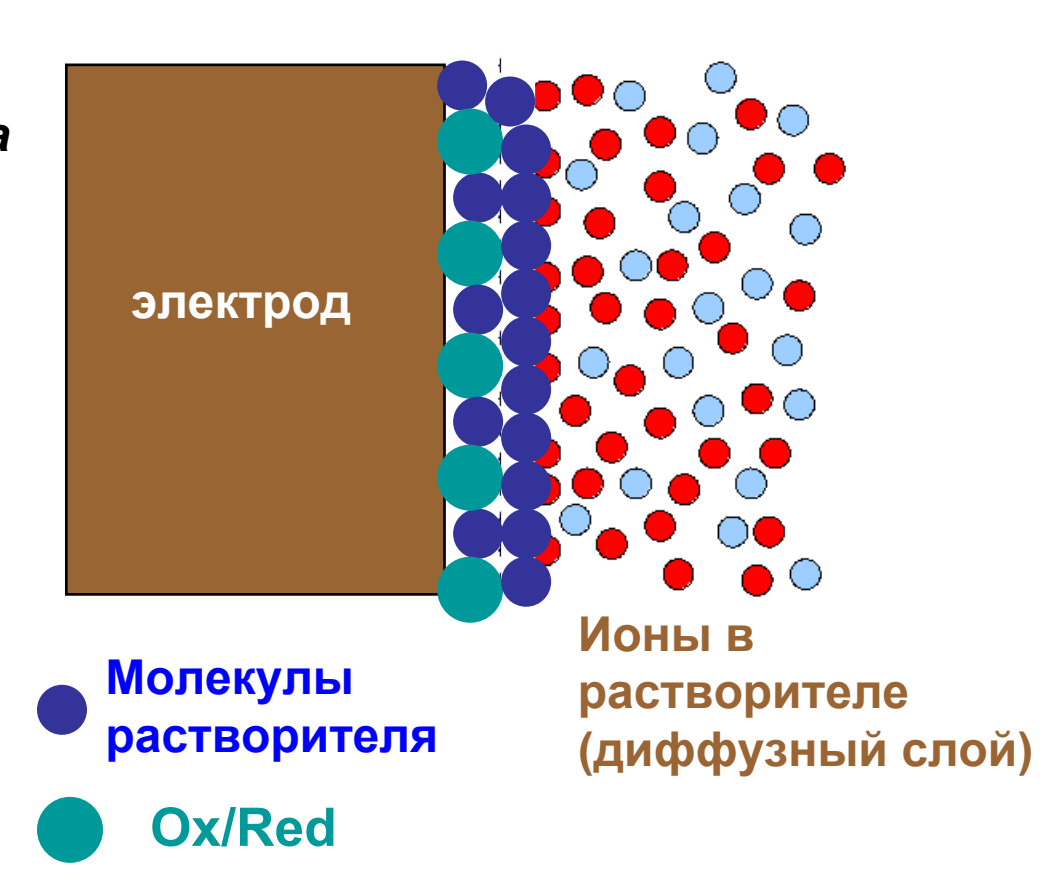
Дифференциальная электрохимическая масс-спектрометрия Ex situ методы - вакуумно-электрохимические системы Моделирование заряженных межфазных границ

# Строение межфазной границы, совершенно поляризуемый электрод (все еще условно!)

Отличие: адсорбция с переносом заряда (это всегда хемосорбция)

В результате переноса заряда с аниона (или на катион) получаются *адатомы*.

В плотной части «двойного слоя» всегда оказывается более одного компонента.



7.5, 7.6

# Совершенно поляризуемые электроды

Образование адатомов (адсорбция с переносом заряда):

$$H_3O^+ + e(Pt) = Pt_H_{ad} + H_2O$$

$$\Delta Q = \Delta q \pm F \Delta A_i$$
 полный свободный заряд заряд

$$dE = \frac{d\mu_{H^+}}{F} - \frac{d\mu_H}{F}$$

$$d\sigma = -\Gamma_H d\mu_H - \Gamma_{H^+} d\mu_{H^+} - \sum_{i \neq H, H^+} \Gamma_i d\mu_i$$

### Эксперимент:

$$\Delta Q = const \cdot v$$

Хронопотенциометрия (кривые заряжения)

$$\Delta Q = I \cdot t$$

$$\longrightarrow A_i(E)$$

Поправка на заряжение ионного двойного слоя

# 7.2

# Адсорбционный метод изучения заряженных межфазных границ (определение изменения поверхностной концентрации)

### Оценки:

- заряд *идеально поляризуемого* электрода в реальных системах может достигать 30 мкКл/см<sup>2</sup>;
- полный заряд *совершенно поляризуемого* электрода может изменяться на 200-400 мкКл/см<sup>2</sup>

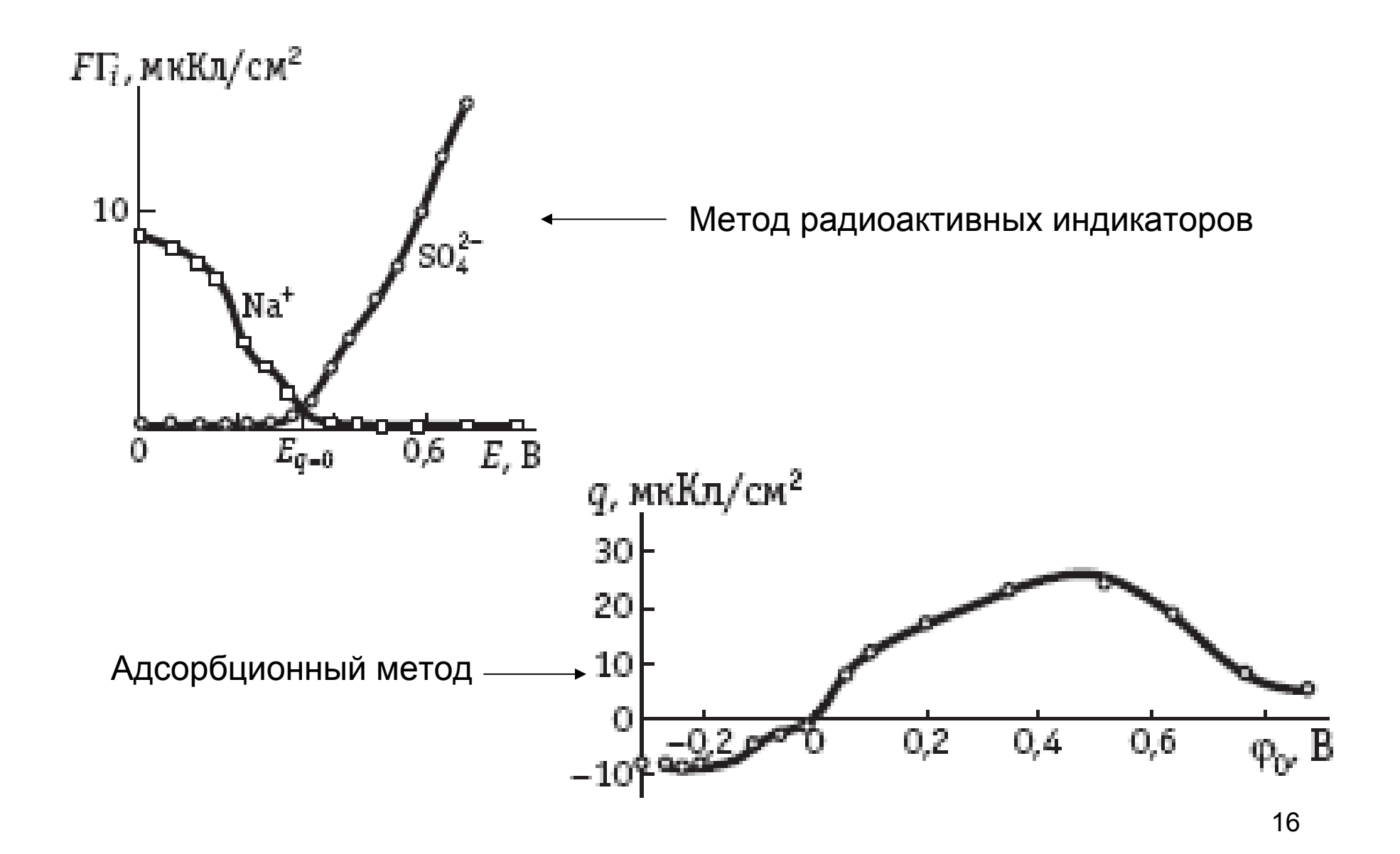
Изменение состава раствора в результате формирования адсорбционного слоя на 1 см<sup>2</sup> истинной поверхности не превышает 1 наномоля

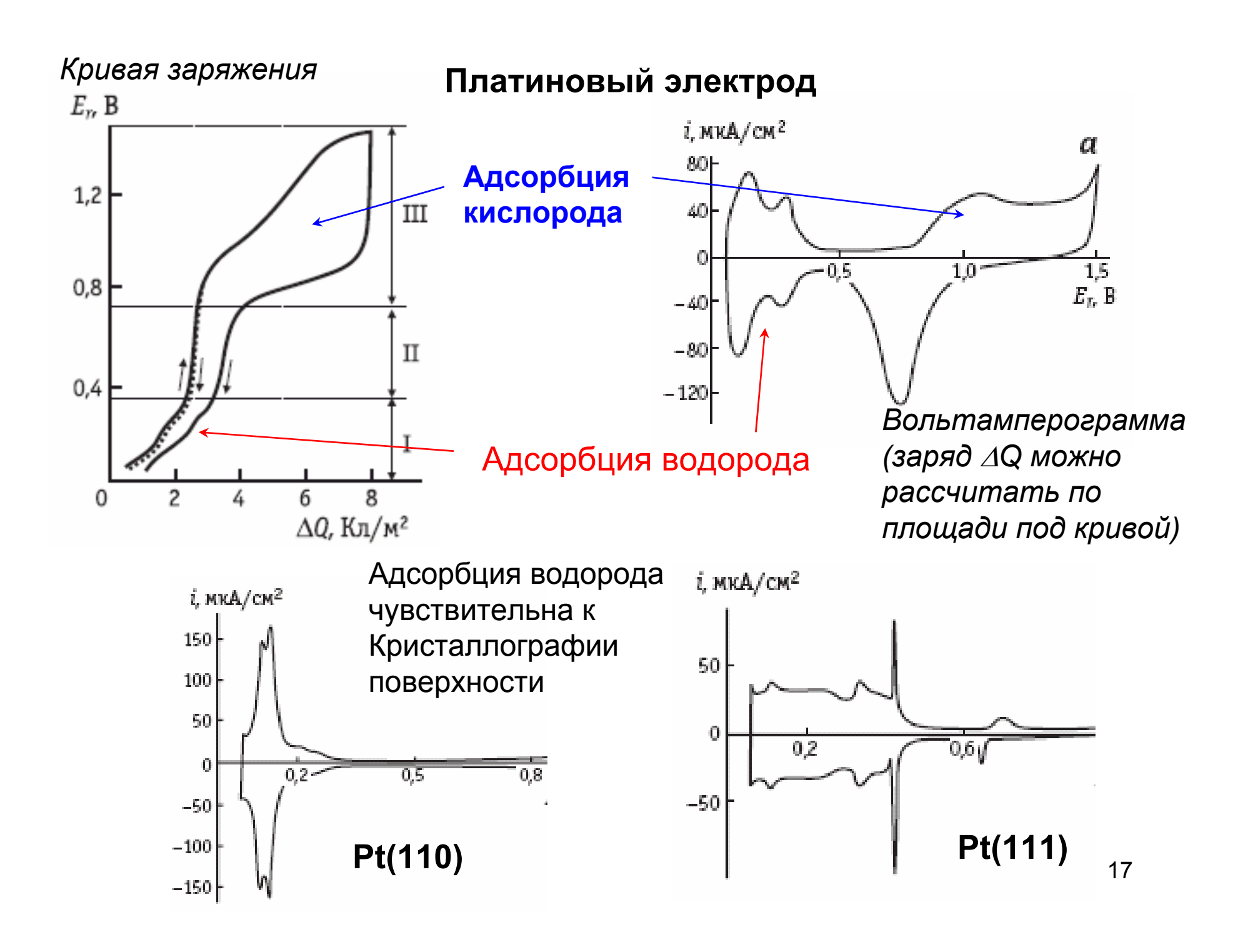
Метод 1 н радиоактивных индикаторов

Прямое определение адсорбции возможно на электродах с развитой поверхностью из малого объема раствора

титрование спектрофотометрия электропроводность

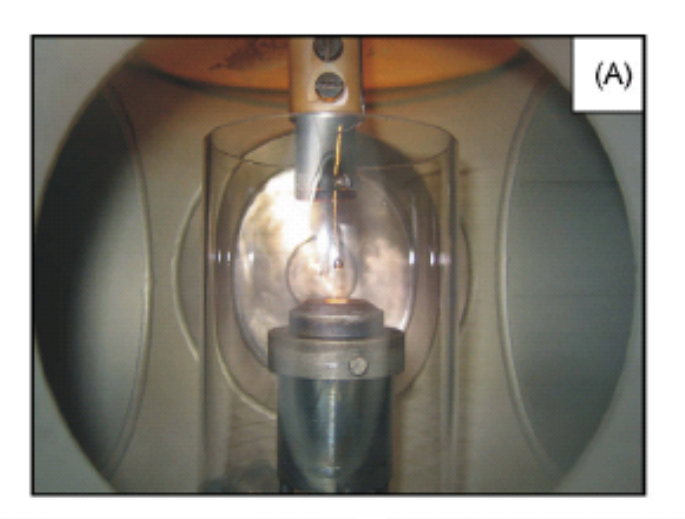
# Адсорбция ионов – свободный заряд

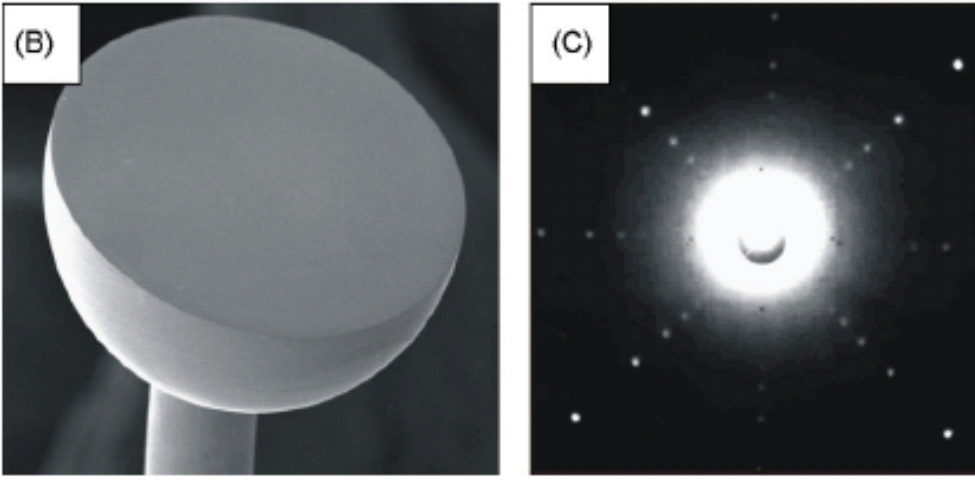




# Монокристаллические электроды

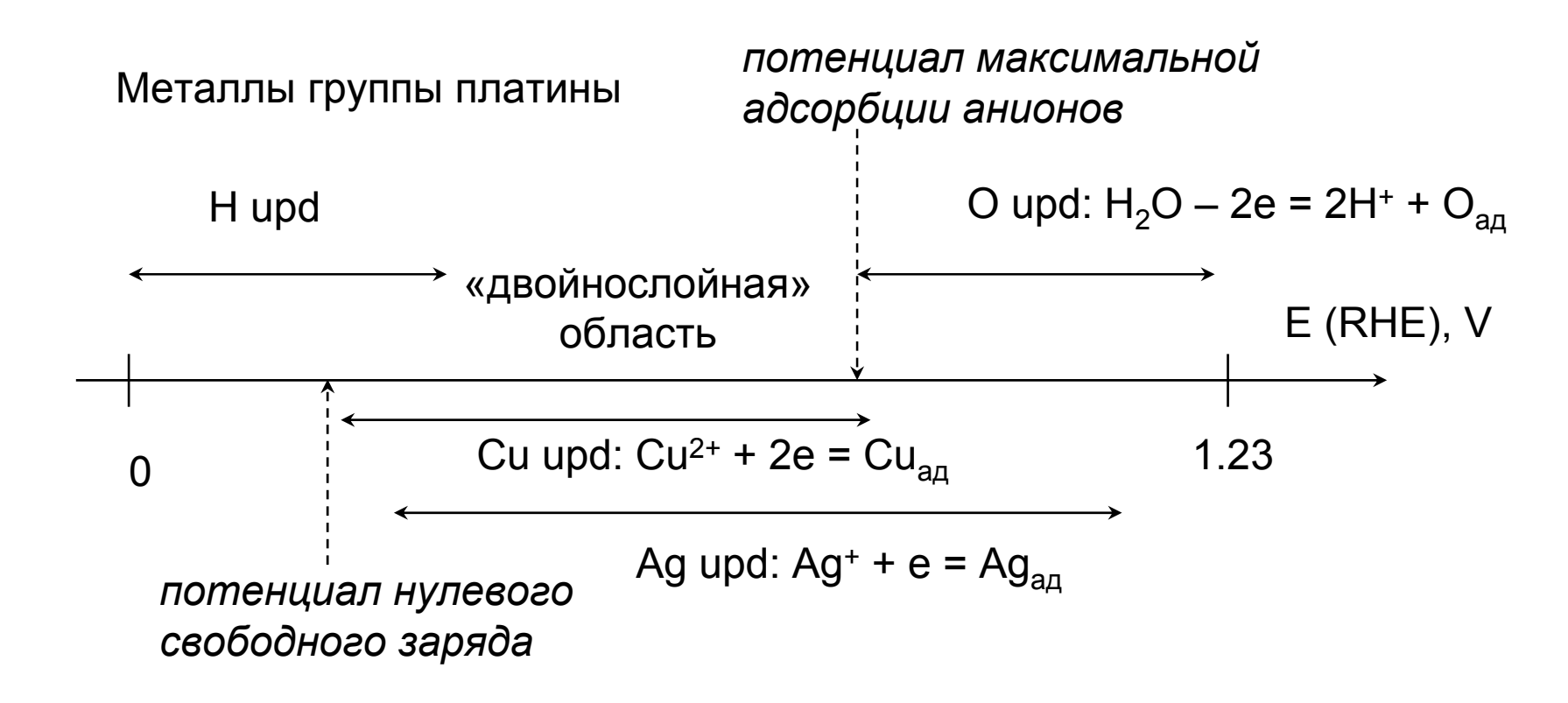
Получение: метод J. Clavilier





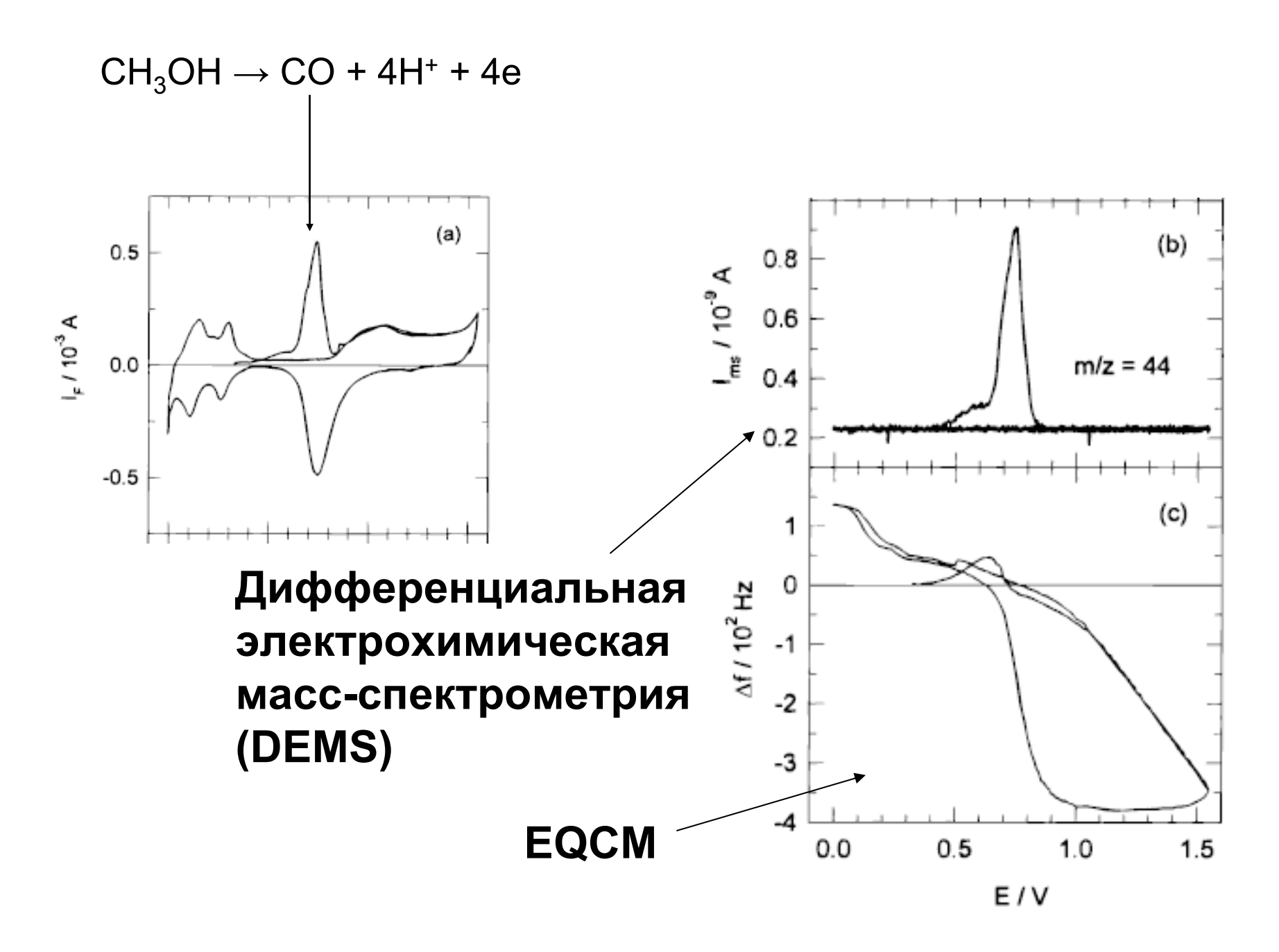
# Совершенно поляризуемые электроды - соадсорбция

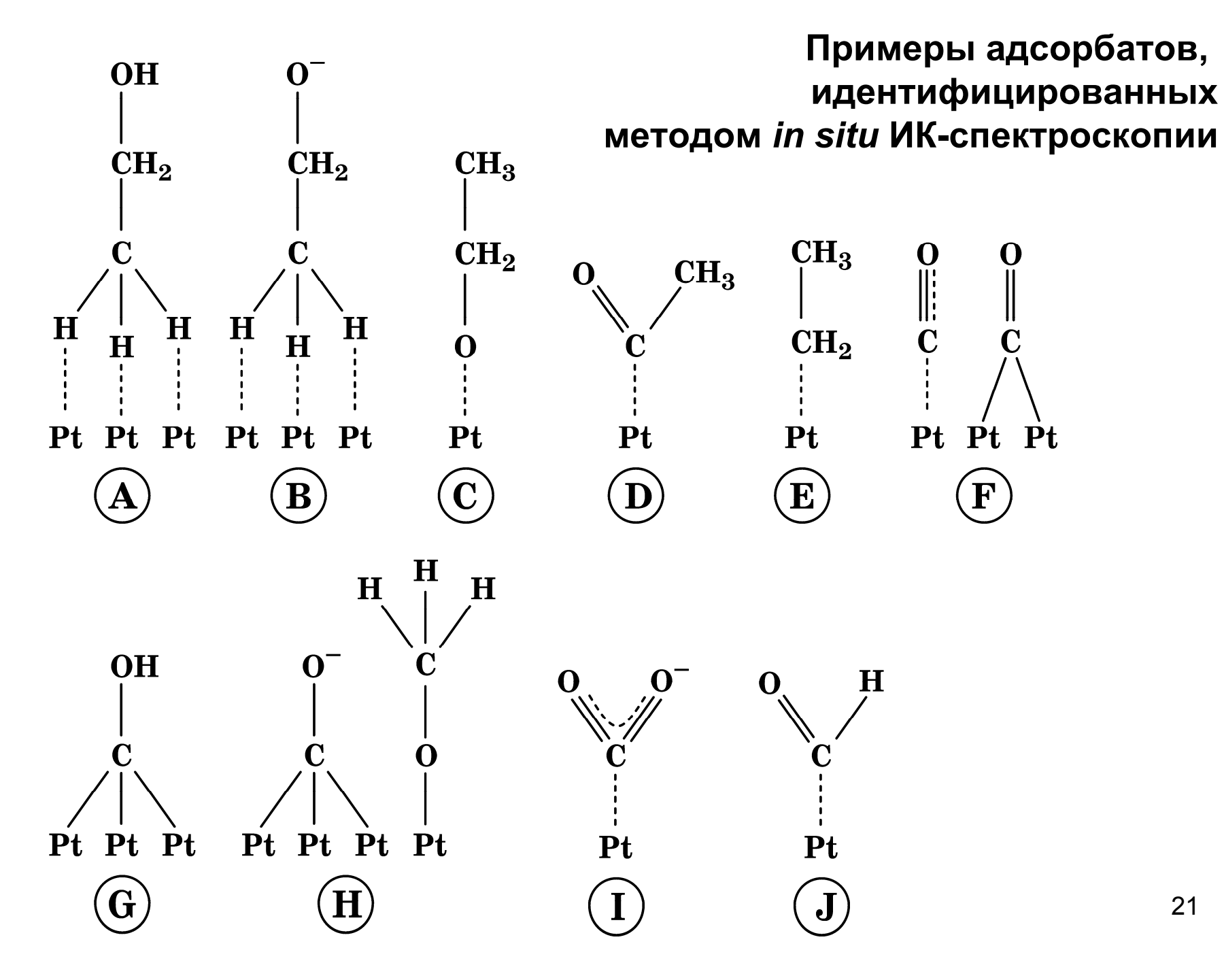
Underpotential deposition (upd) — образование адатомов при потенциалах положительнее равновесного



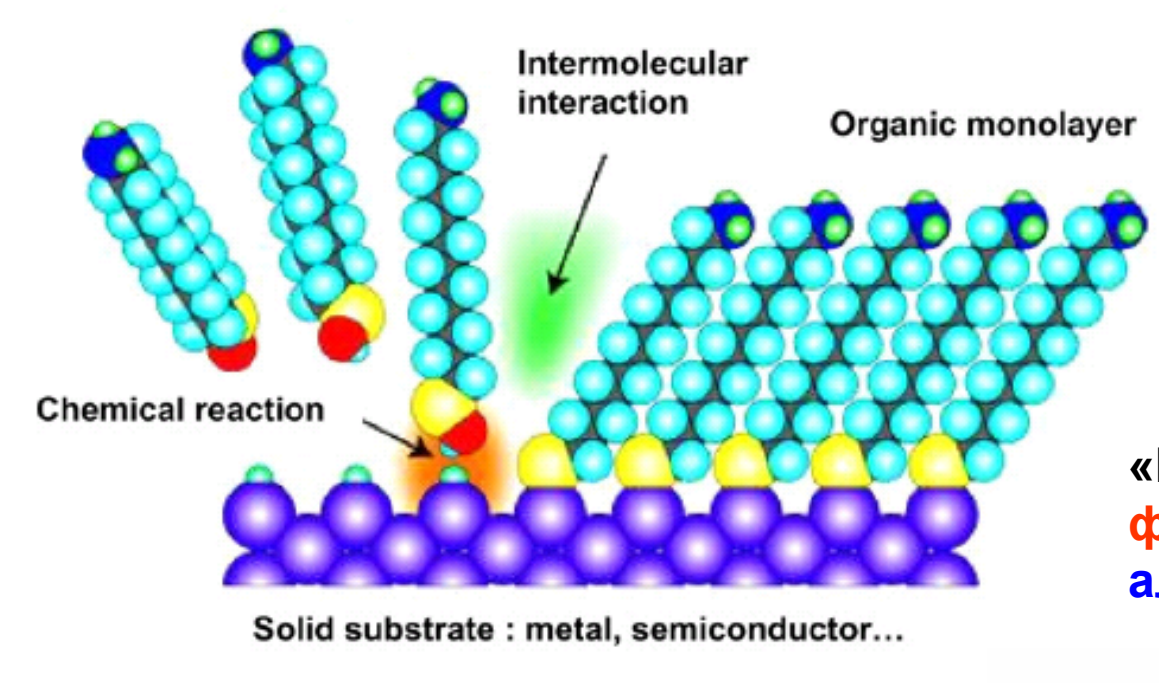
RHE – reversible hydrogen electrode (обратимый водородный электрод в том же растворе)

# Диссоциативная адсорбция – необратимая





# SAM - самоорганизованные (self-arranged) монослои молекул с концевыми SH-группами (thiol terminated) – необратимая адсорбция



# Самопроизвольное осаждение:

- из спиртовых растворов
- из газовой фазы

### «Разбавление»

функциональных молекул

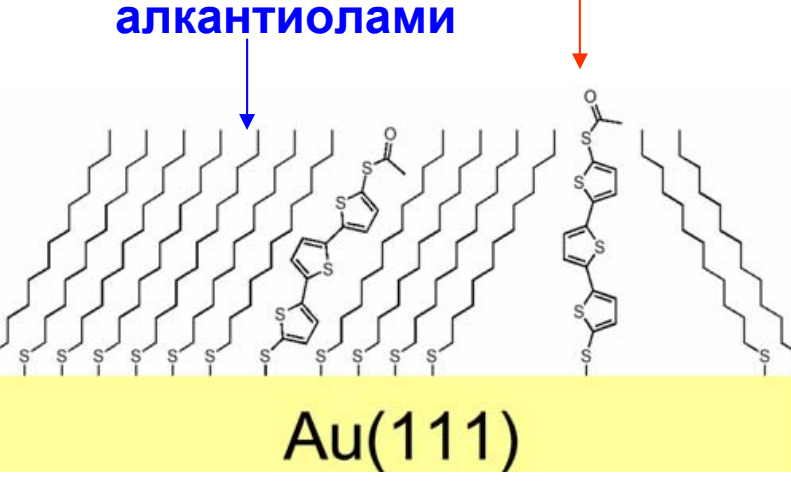
## Удаление тиолов с поверхности:

восстановительное

$$AuSR + 1 e^- \rightarrow Au (0) + RS^-$$

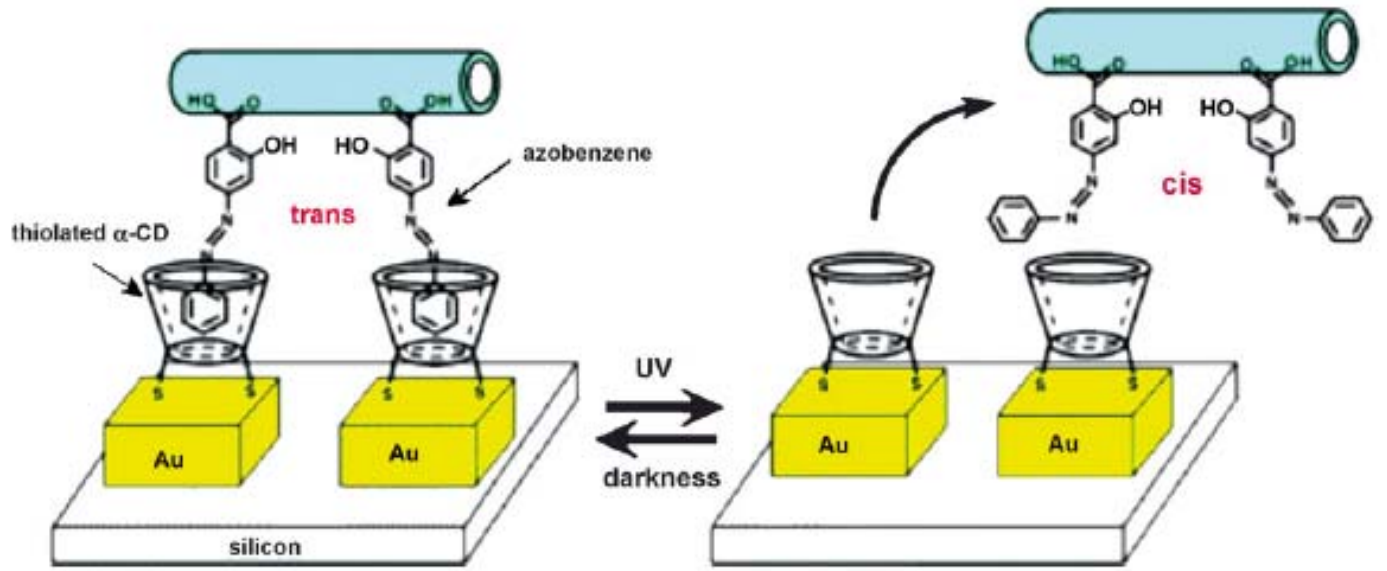
окислительное

$$AuSR + 2H_2O \rightarrow Au (0) + RSO_2^- + 3e^- + 4H^+$$

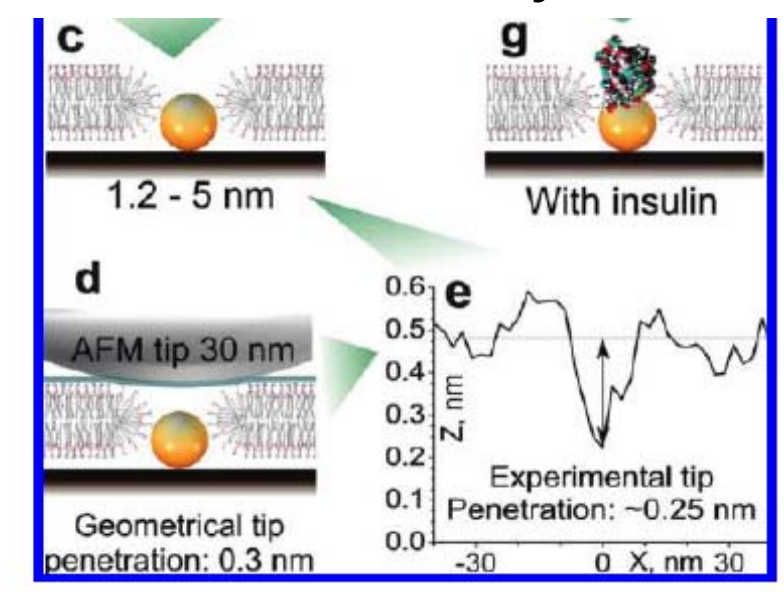


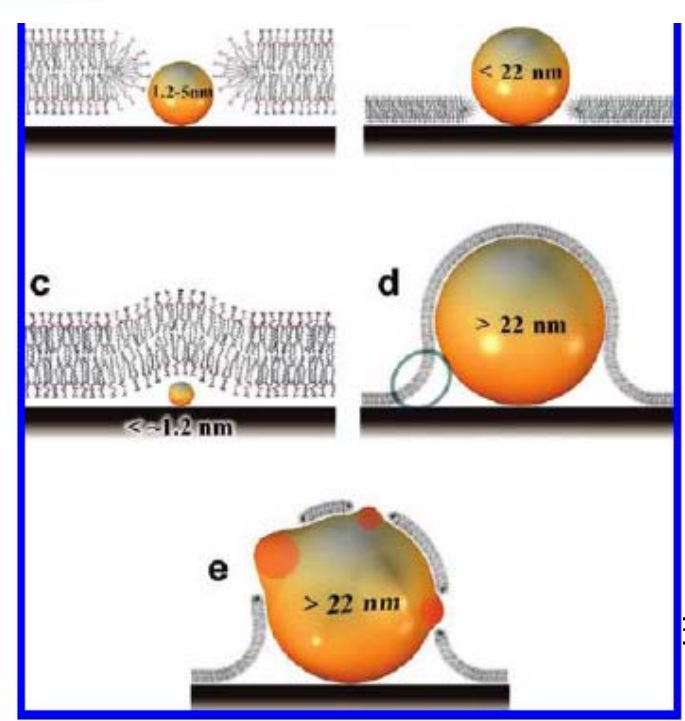
# Циклодекстрины – молекулярное распознавание

### ПРИМЕРЫ



## Биологические молекулы





# In situ оптические методы

Furier-transformed infrared spectroscopy (FTIRS) – ИК-спектроскопия с Фурье-преобразованием

Electromodulation infrared spectroscopy (EMIRS) – с модуляцией Потенциала

Subtraction normalized infrared spectroscopy (SNIFTIRS) – с нормализацией вычитанием

Нелинейно-оптические методы:

- second harmonic generation (SHG) генерация второй гармоники;
- surface enhanced Raman scattering (SERS) усиленное поверхностью комбинационное рассеяние

Модуляционная спектроскопия отражения (электроотражение)

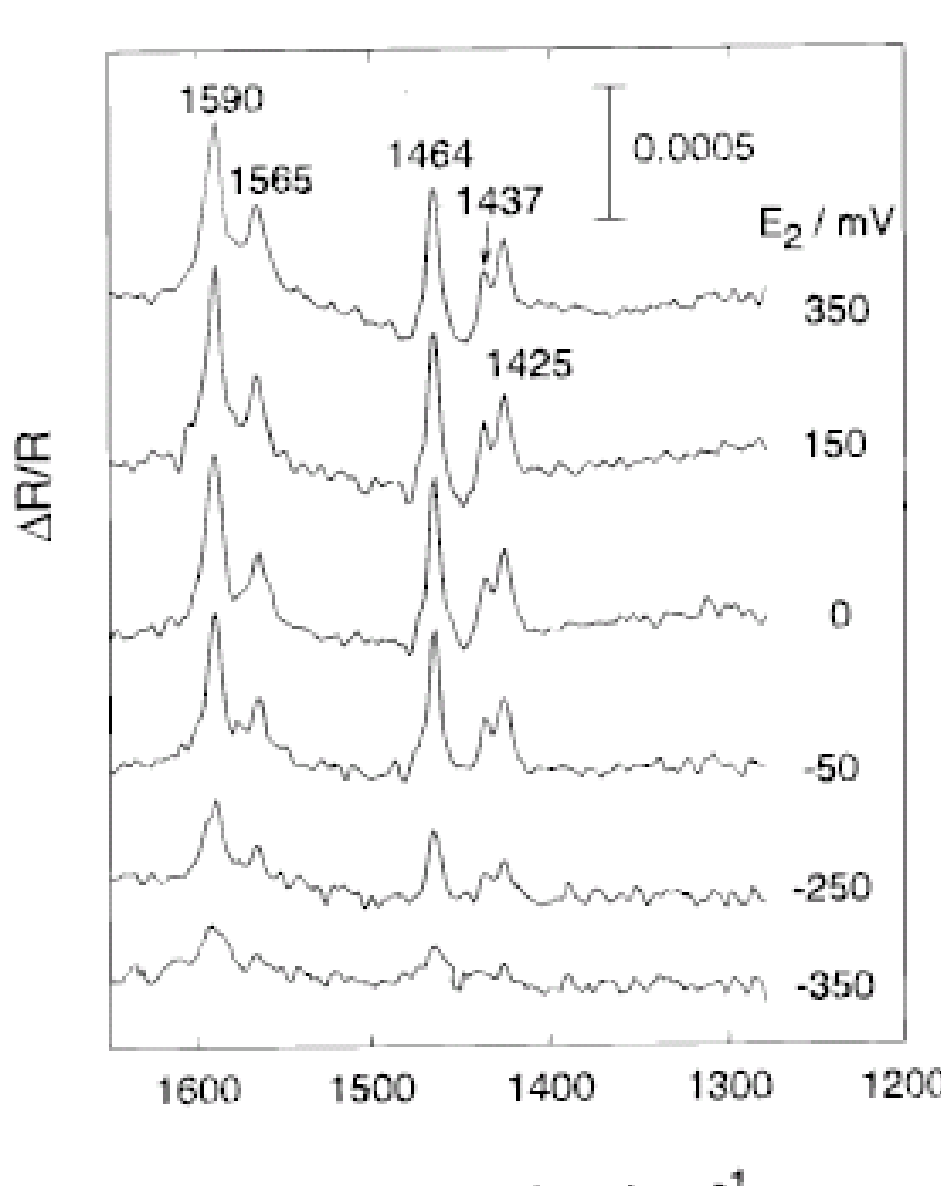
Эллипсометрия

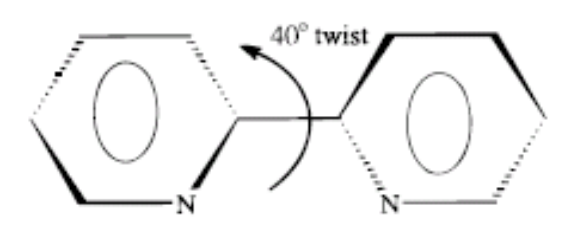
Интерферометрия

Фотоэлектронная эмиссия

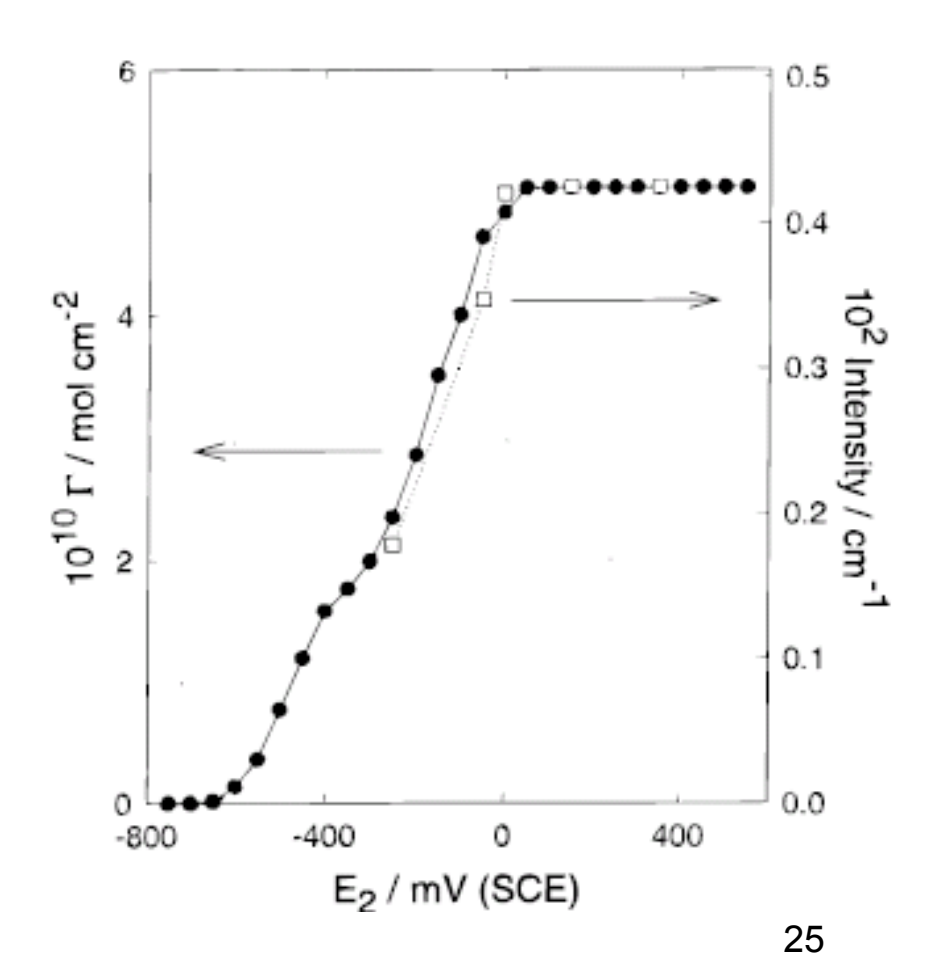
ИК 200 – 4000 см<sup>-1</sup> Видимая область 350 – 800 нм УФ

# Пример: SNIFTIRS





(адсорбция на золоте)



Wavenumber / cm<sup>-1</sup>

# Другие in situ методы

## Зондовые методы

STM – scanning tunneling microscopy (сканирующая туннельная микроскопия)

AFM – atomic force microscopy (атомно-силовая микроскопия)

### Рентгеновская спектроскопия

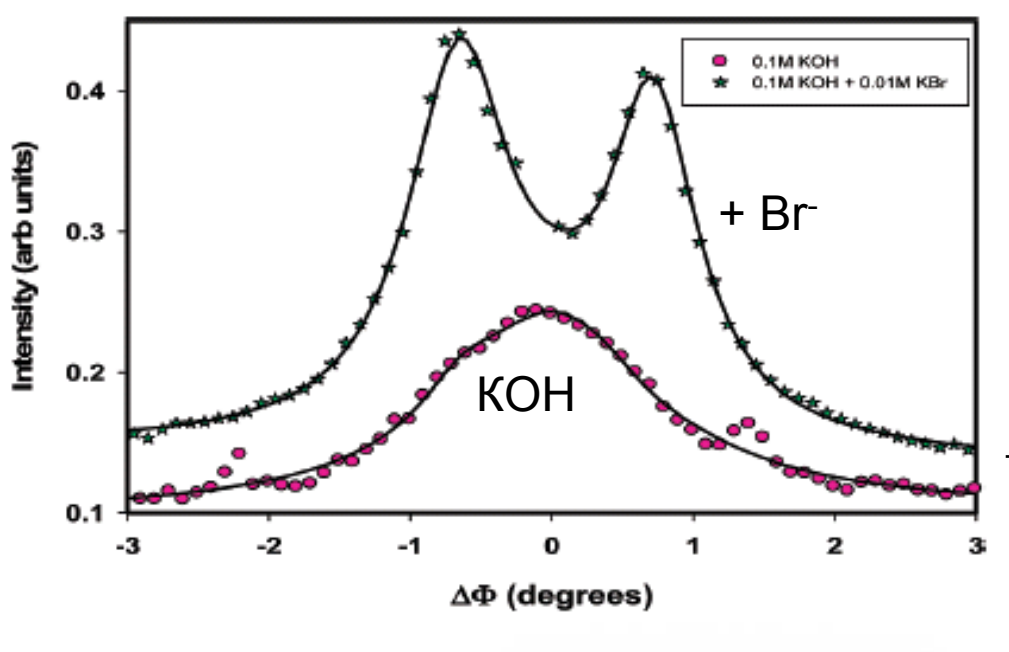
EXAFS – extended X-ray absorption fine structure (метод расширенной тонкой структуры рентгеновского поглощения)

XANES – X-ray absorption near edge structure (спектроскопия структуры рентгеновского поглощения вблизи порога поглощения)

XRD, ND – X-ray and neutron diffraction (рентгеновская и нейтронная дифракция)

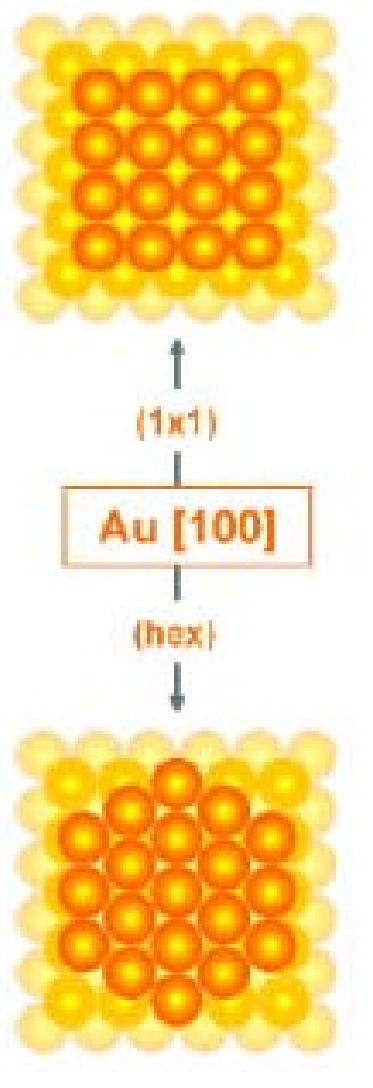
DEMS – differential electrochemical mass-spectroscopy (дифференциальная электрохимическая масс-спектрометрия)

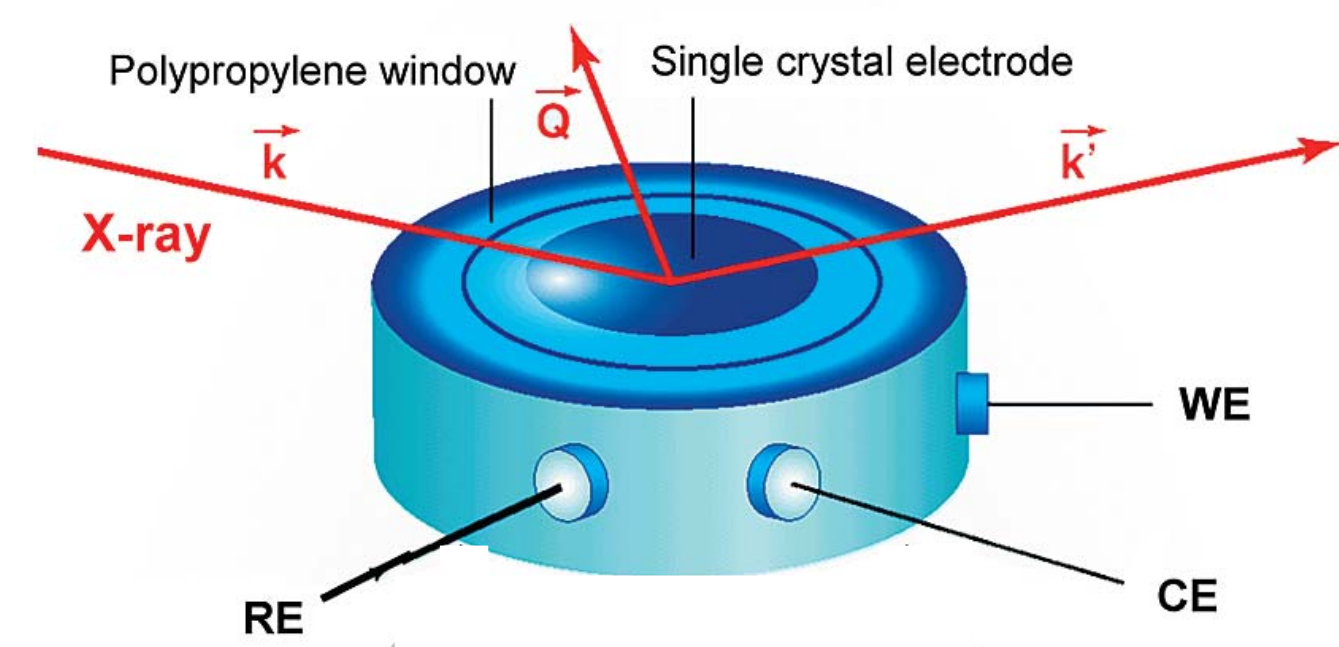
EQCM (EQCN) – electrochemical quartz crystal micro(nano)balance (кварцевое<sub>26</sub> микро- или нановзвешивание)



# Пример: SXS

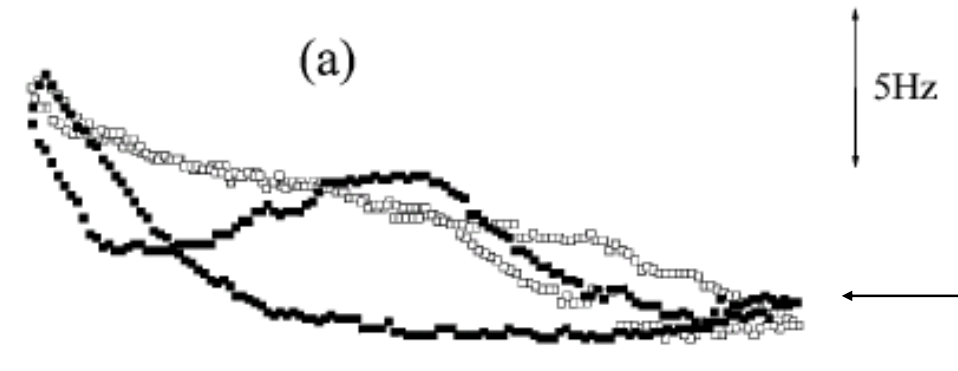
Индуцированная адсорбцией бромида реконструкция Au





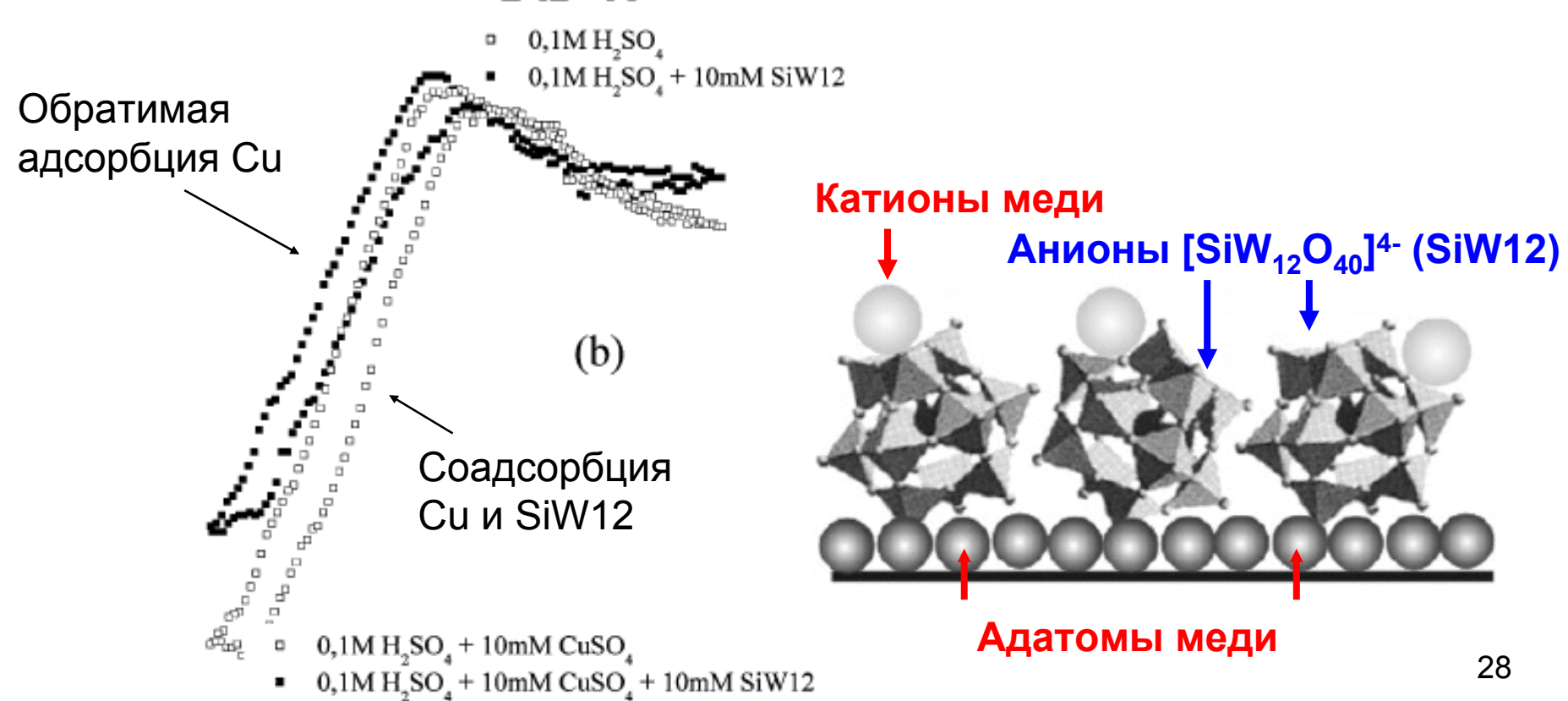
# Пример: EQCM, соадсорбция

Приближенное соотношение для изменений резонансной частоты и массы:



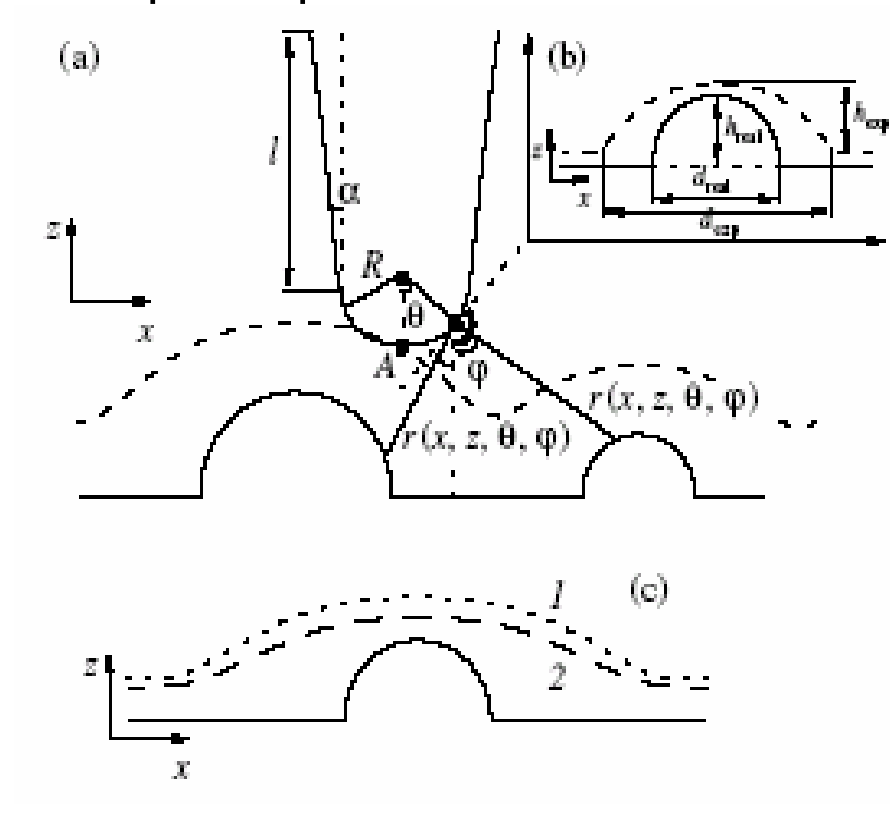
$$\Delta f_0 = -A f_0^2 \Delta m$$

Необратимая адсорбция SiW12



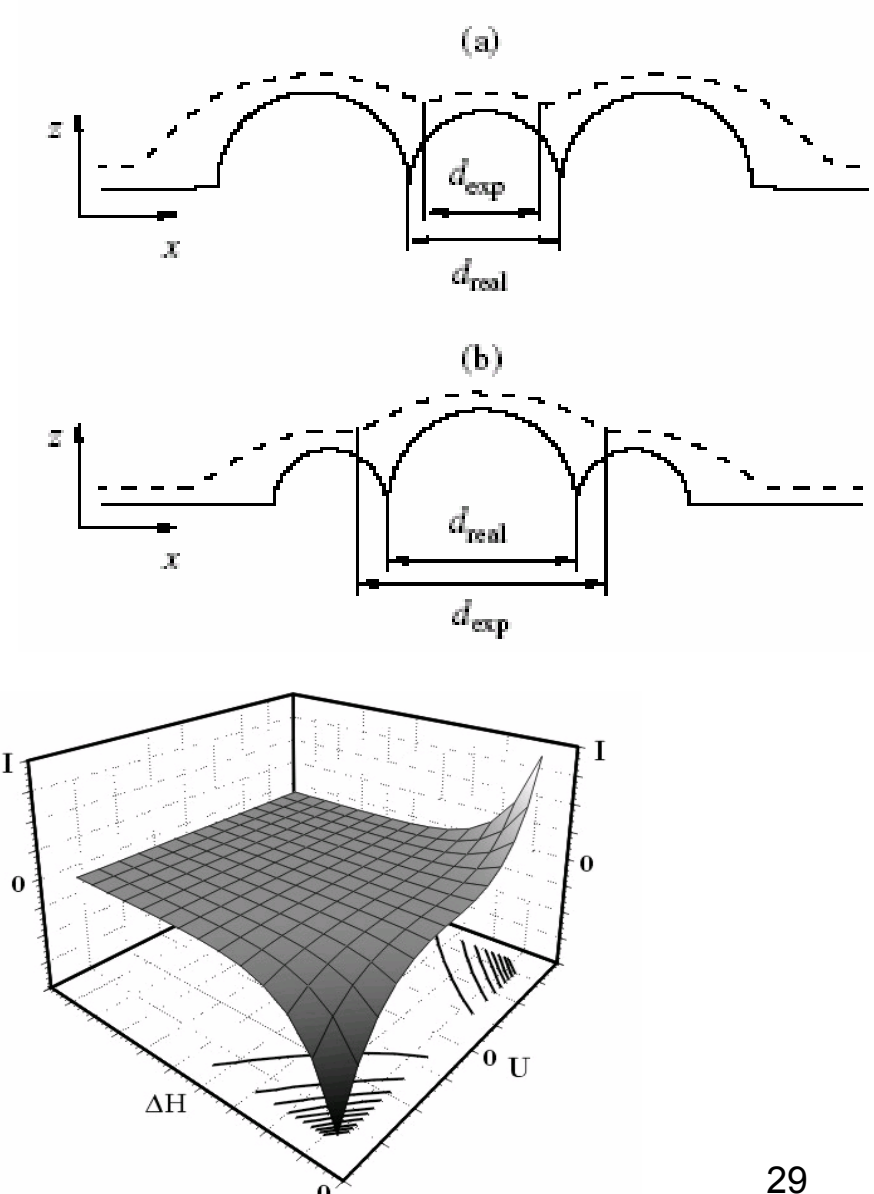
*In situ* зондовые методы при визуализации молекулярных и наноразмерных объектов: искажения (неидеальность зонда)

7.8

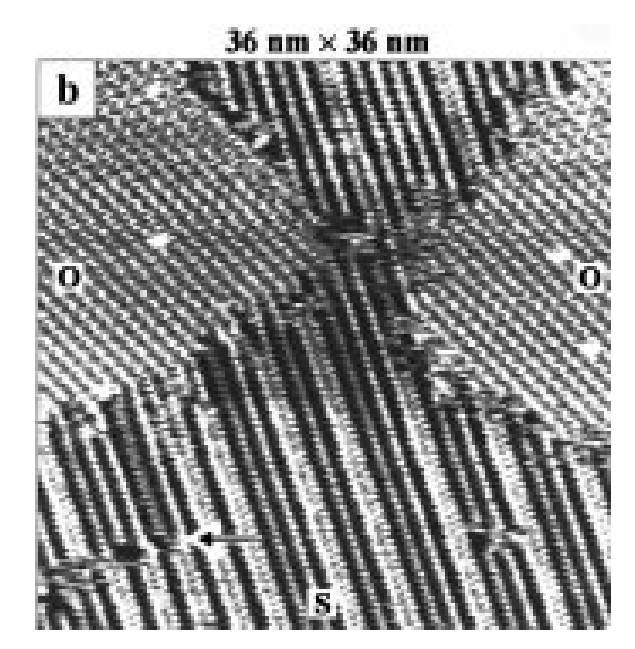


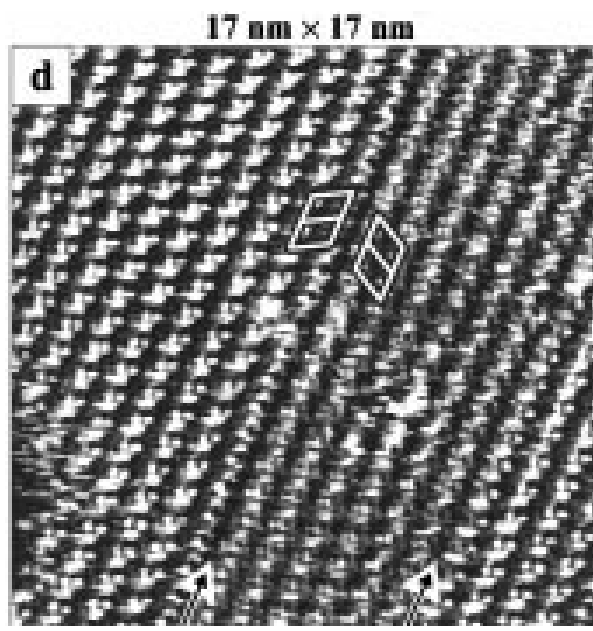
Туннельная спектроскопия: локальное определение проводимости в туннельном зазоре

$$\boldsymbol{I}_{\scriptscriptstyle{\mathrm{TYH}}} = \! \mathrm{const} \cdot \boldsymbol{U}_{\scriptscriptstyle{\mathrm{TYH}}} \cdot \boldsymbol{e}^{-\mathrm{const'} \sqrt{\boldsymbol{V}_{\scriptscriptstyle{\mathrm{TYH}}}} \, \boldsymbol{H}_{\scriptscriptstyle{\mathrm{TYH}}}}$$



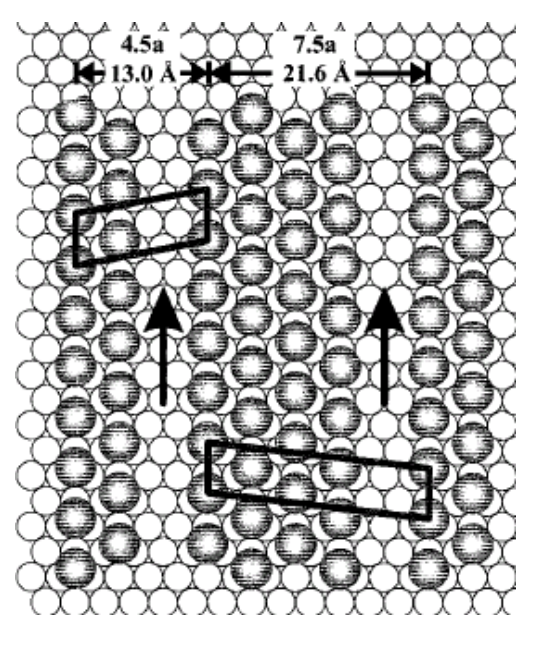
# Этантиол на Au(111)





# **Домены** в слоях тиолов:

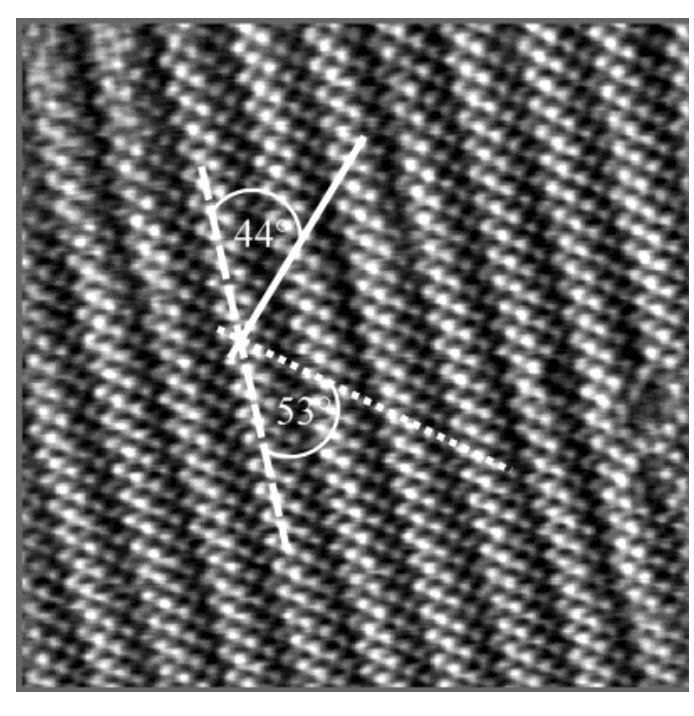
- ступени на подложке
- разная ориентация
- рассогласованность с размерами атомов подложки



зеркальные домены

# Бутантиол на Au(100)

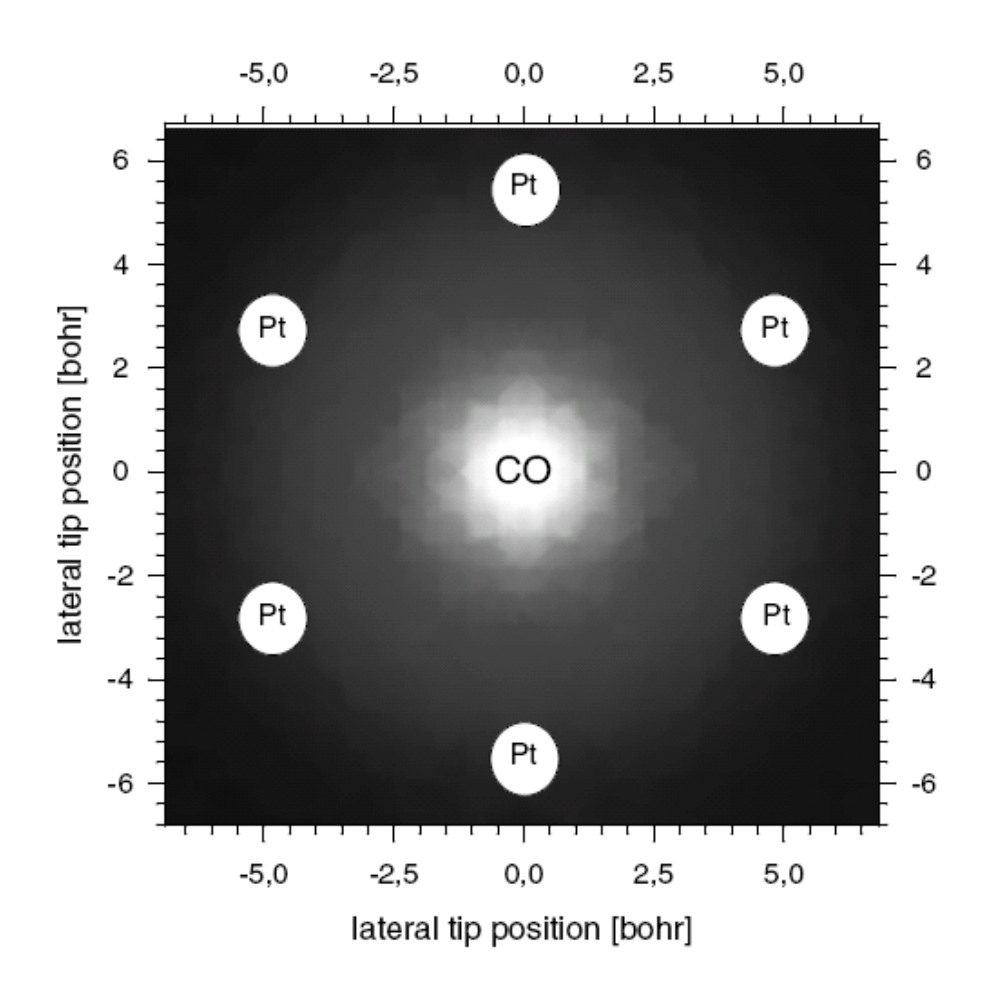
 $15x15 \text{ HM}^2$ 



Langmuir 19 (2003) 830

Langmuir 15 (1999) 2435

# Моделирование СТМ-изображений



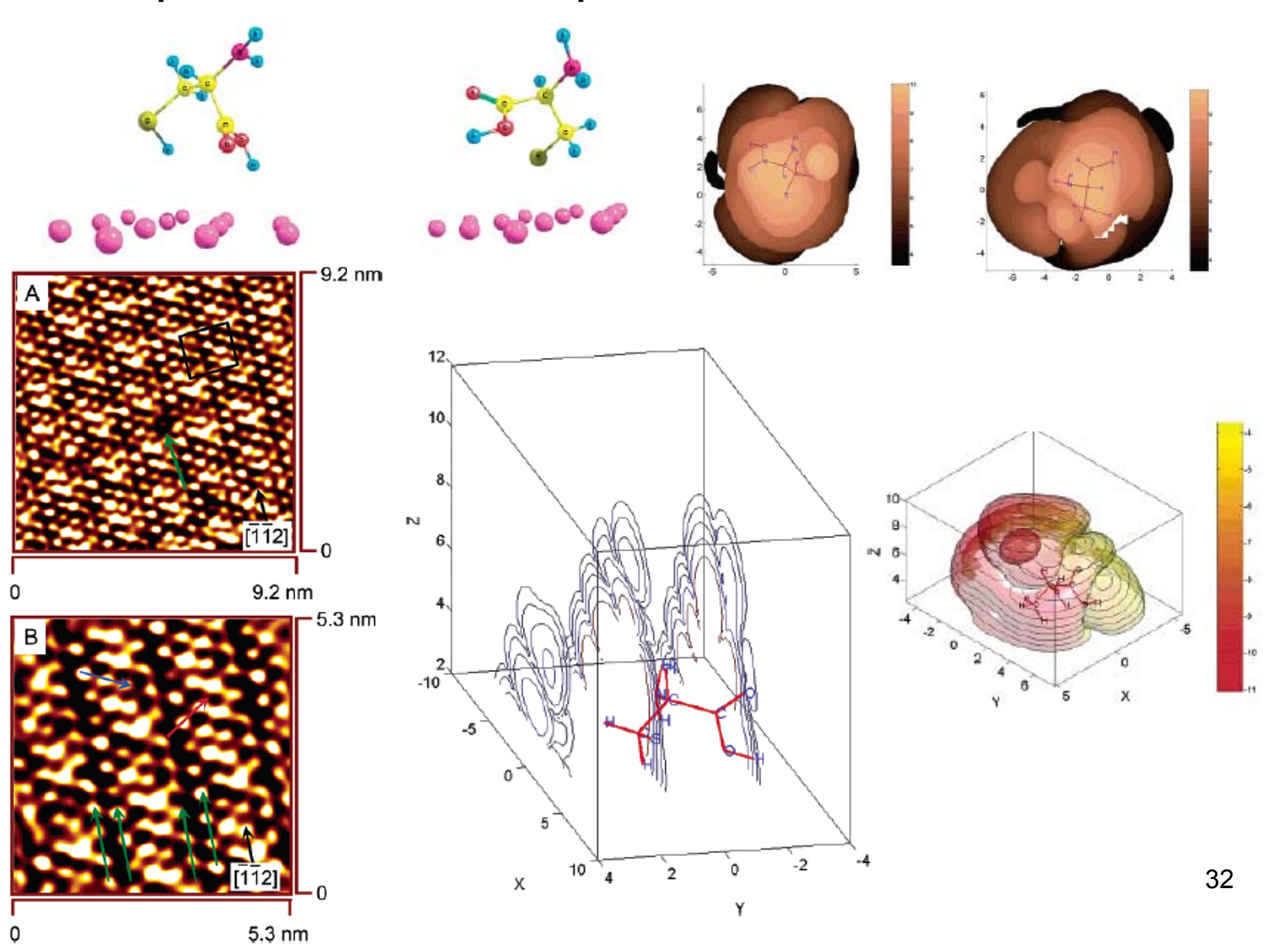
Pd MgO

Rep. Prog. Phys. 64 (2001) 205

NIC Series, V. **39**, pp. 177-184, 2008 http://www.fz-juelich.de/nic-series/vol@fne39

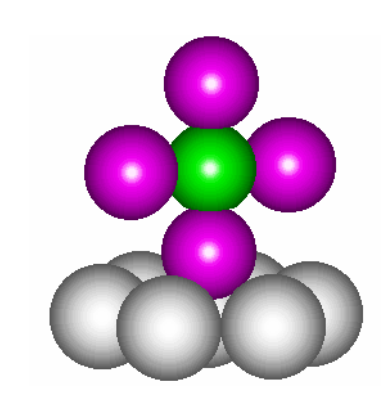
# Моделирование in situ STM-изображений

цистеин



# Modern Aspects of Electrochem. V. 36(2003), p.51-130

# Ab Initio Quantum-Chemical Calculations in Electrochemistry



### Marc T. M. Koper

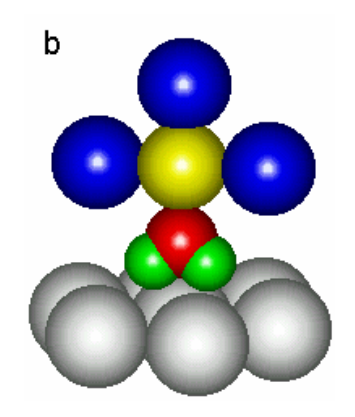
Кластерные модели электрода

Моделирование заряда и потенциала металла

Моделирование хемосорбции на заряженной поверхности

Моделирование адсорбции и диссоциативной адсорбции воды

Ab initio моделирование электродных реакций



Запросы на полный текст: tsir@elch.chem.msu.ru